

**MAGNETOSTATICA
NELLA
MATERIA**

Magnetostatica nella materia

• $\underline{\nabla} \cdot \underline{B} = 0$

• $\underline{\nabla} \times \underline{B} = \mu_0 (\underline{J} + \underline{J}_m)$

$$\underline{A}(\underline{x}) = \frac{\mu_0}{4\pi} \int \frac{\underline{J}(\underline{x}') + \underline{J}_m(\underline{x}')}{|\underline{x} - \underline{x}'|} d^3x' + \frac{\mu_0}{4\pi} \int \frac{\underline{K}_m(\underline{x}')}{|\underline{x} - \underline{x}'|} d^2x' =$$

$$= \frac{\mu_0}{4\pi} \int \frac{\underline{J}(\underline{x}')}{|\underline{x} - \underline{x}'|} d^3x' + \frac{\mu_0}{4\pi} \int \frac{\underline{M}(\underline{x}') \times (\underline{x} - \underline{x}')}{|\underline{x} - \underline{x}'|^3} d^3x' \quad *$$

$$= \frac{\mu_0}{4\pi} \int \frac{\underline{J}(\underline{x}') + \underline{\nabla}' \times \underline{M}(\underline{x}')}{|\underline{x} - \underline{x}'|} d^3x' + \frac{\mu_0}{4\pi} \int \frac{\underline{M}(\underline{x}') \times \hat{n}'}{|\underline{x} - \underline{x}'|} dS' \quad **$$

$$\underline{J}_m(\underline{x}) = \underline{\nabla} \times \underline{M}(\underline{x})$$

\underline{M} = momento di dipolo magnetico per unità di volume

$$\underline{K}_m(\underline{x}) = \underline{M}(\underline{x}) \times \hat{n}$$

$$\underline{\nabla} \times \underline{B} = \mu_0 \underline{J} + \underline{\nabla} \times (\mu_0 \underline{M})$$

• $\underline{\nabla} \times (\underline{B} - \mu_0 \underline{M}) = \mu_0 \underline{J}$

• $\underline{H} \equiv (\underline{B} - \mu_0 \underline{M}) \frac{1}{\mu_0} \quad \underline{\nabla} \times \underline{H} = \underline{J}$

* $\underline{M}(\underline{x}') \times \frac{\underline{x} - \underline{x}'}{|\underline{x} - \underline{x}'|^3} = +\underline{M}(\underline{x}') \times \underline{\nabla}' \frac{1}{|\underline{x} - \underline{x}'|} = \frac{\pm 1}{|\underline{x} - \underline{x}'|} \underline{\nabla}' \times \underline{M}(\underline{x}') = \underline{\nabla}' \times \frac{\underline{M}(\underline{x}')}{|\underline{x} - \underline{x}'|}$

avendo usato

$$\underline{\nabla} \times (\rho \underline{v}) = \underline{\nabla} \rho \times \underline{v} + \rho \underline{\nabla} \times \underline{v}$$

** $\int \underline{\nabla} \times \underline{v} d^3x = \int \hat{n} \times \underline{v} d^2x$

- mezzi isotropi $\underline{M} = \chi \underline{H}$

$$\underline{B} = \mu_0 (\underline{H} + \underline{M}) = \mu_0 (1 + \chi) \underline{H}$$

$$\mu_r \equiv 1 + \chi \quad \underline{B} = \mu_0 \mu_r \underline{H}$$

- mezzi isotropi + omogenei μ_r costante $\underline{\nabla} \times \underline{B} = \mu_0 \mu_r \underline{J}$

- $B_{n1} = B_{n2}$

$$H_{t1} = H_{t2}$$

$$\frac{1}{\mu_{r1}} B_{t1} = \frac{1}{\mu_{r2}} B_{t2}$$

$$\frac{\tan \phi_1}{\tan \phi_2} = \frac{B_{t1}/B_{n1}}{B_{t2}/B_{n2}} = \frac{\mu_{r1}}{\mu_{r2}}$$

- materiali diamagnetici : $\chi \leq 0 \quad \mu_r \leq 1$

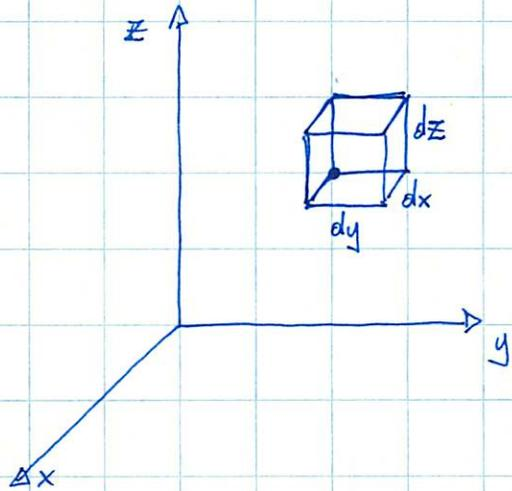
- materiali paramagnetici : $\chi \geq 0 \quad \mu_r \geq 1$

- materiali ferromagnetici : $\underline{B} = \underline{F}(\underline{H})$ con \underline{F} funzione vettoriale di \underline{H} , non lineare e a più valori

$$\int_V \underline{\nabla} \cdot \underline{A} \, dV = \int_S \underline{A} \cdot \hat{n} \, dS$$

$$\int_V \underline{\nabla} \phi \, dV = \int_S \phi \hat{n} \, dS$$

$$\int_V \underline{\nabla} \times \underline{A} \, dV = \int_S \hat{n} \times \underline{A} \, dS$$



~~$\hat{n} \times \underline{A} \, dS =$~~ \hat{n}

$$\underline{\nabla} \times \underline{A} \, dV = \begin{vmatrix} \hat{x} & \hat{y} & \hat{z} \\ \partial_x & \partial_y & \partial_z \\ A_x & A_y & A_z \end{vmatrix} dx \, dy \, dz$$

$$= \left[\hat{x} (\partial_y A_z - \partial_z A_y) + \hat{y} (\partial_z A_x - \partial_x A_z) + \hat{z} (\partial_x A_y - \partial_y A_x) \right] dx \, dy \, dz =$$

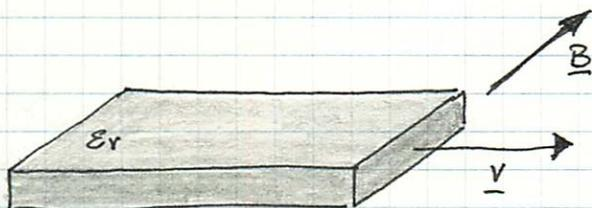
$$= \hat{x} [A_z(y+dy) - A_z(y)] dx \, dz - \hat{x} [A_y(z+dz) - A_y(z)] dx \, dy$$

$$+ \hat{y} [A_x(z+dz) - A_x(z)] dx \, dy - \hat{y} [A_z(x+dx) - A_z(x)] dy \, dz$$

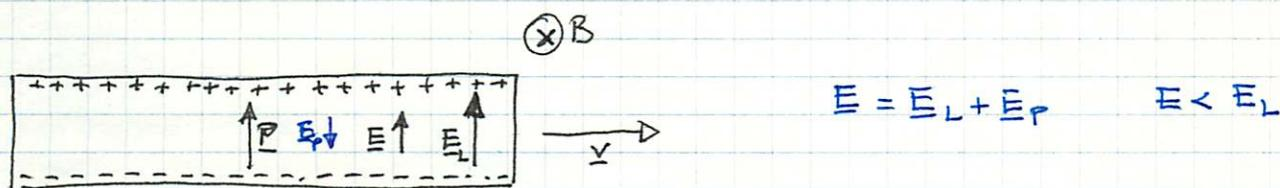
$$+ \hat{z} [A_y(x+dx) - A_y(x)] dy \, dz - \hat{z} [A_x(y+dy) - A_x(y)] dx \, dz =$$

$$\begin{aligned}
&= dy dz \left\{ \hat{z} [A_y(x+dx) - A_y(x)] - \hat{y} [A_z(x+dx) - A_z(x)] \right\} \\
&+ dx dz \left\{ \hat{x} [A_z(y+dy) - A_z(y)] - \hat{z} [A_x(y+dy) - A_x(y)] \right\} \\
&+ dx dy \left\{ \hat{y} [A_x(z+dz) - A_x(z)] - \hat{x} [A_y(z+dz) - A_y(z)] \right\} = \\
&= dy dz \hat{x} \times [A(x+dx) - A(x)] \\
&+ dx dz \hat{y} \times [A(y+dy) - A(y)] \\
&+ dx dy \hat{z} \times [A(z+dz) - A(z)] = dS \hat{n} \times A
\end{aligned}$$

Una lastra di materiale dielettrico omogeneo ed isotropo ^{$\epsilon_r = 4$} si muove con velocità $v = 5 \text{ m s}^{-1}$ perpendicolarmente ad un campo $B = 1.5 \text{ T}$ uniforme. Calcolare la densità di carica di polarizzazione che si manifesta sulla lastra.



su una carica q (fissa) del dielettrico agisce una forza di Lorentz $q \underline{v} \times \underline{B}$ diretta verso l'alto per $q > 0$ e verso il basso per $q < 0$ quindi esiste un campo elettrico inducente $\underline{E}_L = \underline{v} \times \underline{B}$



il campo elettrico totale è $\underline{E} = \frac{vB}{\epsilon_r}$ $\underline{E} = \frac{1}{\epsilon_r} \underline{v} \times \underline{B}$

cui corrisponde una polarizzazione $\underline{P} = \epsilon_0 (\epsilon_r - 1) \underline{E} = \epsilon_0 \frac{\epsilon_r - 1}{\epsilon_r} \underline{v} \times \underline{B}$

$\underline{\nabla} \cdot \underline{P} = 0 \Rightarrow \rho_{pol} = 0$ nel volume

$\sigma_{pol} = \underline{P} \cdot \hat{n}$ $|\sigma_{pol}| = \epsilon_0 \frac{\epsilon_r - 1}{\epsilon_r} vB = 6.65 \cdot 10^{-11} \text{ C m}^{-2}$

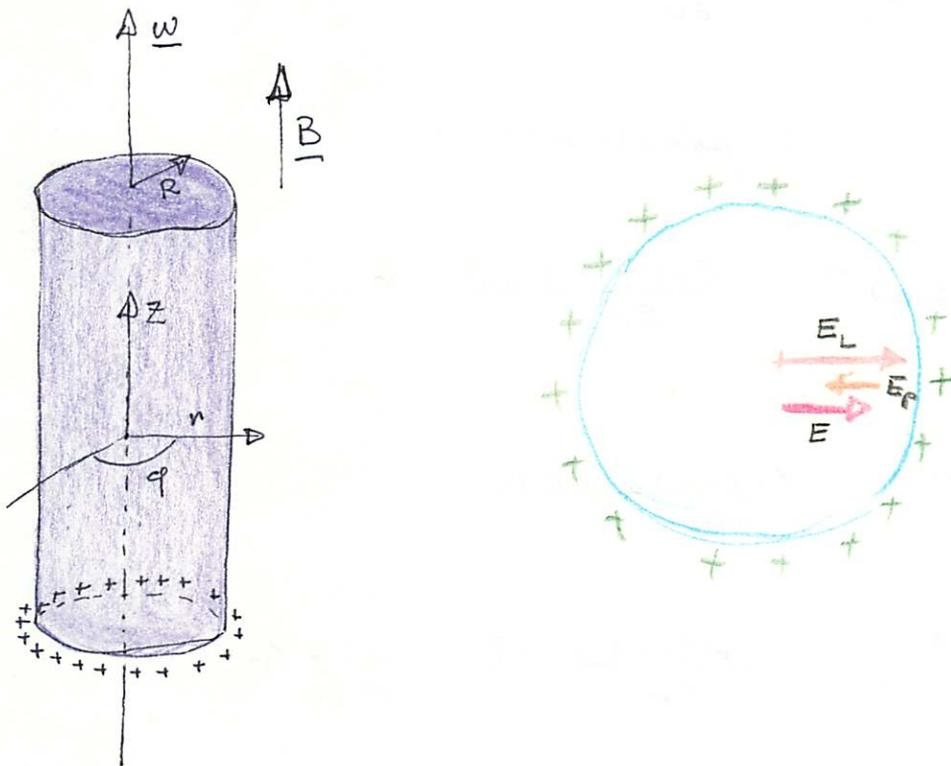
positiva sopra negativa sotto

si noti che
$$\underline{E} = \underline{E}_L - \frac{1}{\epsilon_0} \underline{P} = \underline{v} \times \underline{B} \left(1 - \frac{\epsilon_r - 1}{\epsilon_r} \right) = \frac{1}{\epsilon_r} \underline{v} \times \underline{B}$$

N.B.: metallo $\Rightarrow \epsilon_r = \infty$ così che $E = 0$



Un cilindro di materiale dielettrico (costante dielettrica ϵ_r) di raggio R ruota con velocità angolare costante ω intorno al suo asse. Determinare la densità di carica di polarizzazione di superficie σ_{pol} e di volume ρ_{pol} indotte da un campo di induzione magnetica \underline{B} uniforme diretto nel verso dell'asse.



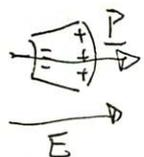
Si suppone il cilindro di altezza molto grande rispetto al raggio R in modo da poter trascurare effetti di bordo.

Le cariche elettriche del dielettrico sono sottoposte ad una forza di Lorentz di intensità crescente lungo r $F(r) = q \omega r B$ che separa cariche positive e negative e polarizza per deformazione il mezzo.

Il campo elettrico locale risultante $E(r)$ produce una forza che è tale da produrre la stessa forza magnetica ~~compensando quella magnetica elettrica~~

$$\epsilon_r q \bar{E}(r) = F(r)$$

$$\bar{E}(r) = \frac{\omega B r}{\epsilon_r}$$



campo elettrico indotto dalle cariche di polarizzazione
 (all'interno del cilindro) e la sua proiezione sulla superficie laterale
 modifica il campo = ...
 (cylinder)

$$\underline{E}(r) = \frac{\omega B}{\epsilon_r} r \hat{r} \quad (\text{diretto verso l'esterno})$$

Il vettore intensità di polarizzazione è:

$$\underline{P}(r) = \epsilon_0 \chi \underline{E}(r) = \frac{\epsilon_0(\epsilon_r - 1)}{\epsilon_r} \omega B r \hat{r}$$

$$\sigma_{pol} = \underline{P}(R) \cdot \hat{r} = \frac{\epsilon_0(\epsilon_r - 1)}{\epsilon_r} \omega B R$$

$$\begin{aligned} \rho_{pol} &= -\underline{\nabla} \cdot \underline{P} = -\frac{\epsilon_0(\epsilon_r - 1)}{\epsilon_r} \omega B \frac{1}{r} \frac{\partial}{\partial r} (r \cdot r) \\ &= -\frac{2 \epsilon_0(\epsilon_r - 1)}{\epsilon_r} \omega B \end{aligned}$$

si noti che:

$$\int_{\text{cilindro}} \rho_{pol} dV = \int_0^R -\frac{2 \epsilon_0(\epsilon_r - 1)}{\epsilon_r} \omega B h 2\pi r dr = -\frac{\epsilon_0(\epsilon_r - 1)}{\epsilon_r} \omega B 2\pi h R^2$$

$$\int_{\text{cilindro}} \sigma_{pol} dS = \frac{\epsilon_0(\epsilon_r - 1)}{\epsilon_r} \omega B R 2\pi R h$$

e quindi $Q_{pol} = 0$

sachant qu'à l'instant initial la bille se trouvait à une distance R de l'axe du solénoïde. Disposant des résultats numériques, décider si l'effet sera observable avec des billes macroscopiques. A quelles difficultés se heurterait-on dans une expérience avec des macroparticules chargées ?

Réponse. $r = R/2$, $T = 2\pi mc/(qB) \approx 60$ ans.

11. On enfle un tore en diélectrique de permittivité ϵ sur un noyau cylindrique en fer, traversé par un flux magnétique uniforme $\Phi = \Phi_0 \cos \omega t$ (fig. 177). Le tore comporte un interstice d'air infiniment étroit résultant de deux coupures infiniment rapprochées parallèles aux plans méridiens. Calculer l'intensité E du champ électrique dans cet interstice en fonction de la distance r à l'axe du cylindre.

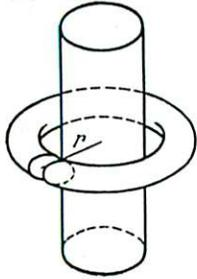


Fig. 177

12. Un cylindre creux en diélectrique, de rayon interne r_1 et de rayon externe r_2 est mis en rotation uniforme avec la vitesse angulaire ω autour de son axe géométrique dans un champ magnétique uniforme. Le vecteur induction B du champ magnétique est parallèle à l'axe du cylindre; la permittivité diélectrique du cylindre est ϵ . Calculer: 1) la densité spatiale $\rho_{11\epsilon}$ des charges liées qui sont apparues dans le cylindre du fait de sa rotation dans le champ magnétique; 2) la charge spatiale totale sur les deux surfaces du cylindre; 3) les densités des charges superficielles

4) la charge globale du cylindre.
Solution. Une charge e tournant avec le cylindre est soumise à la force de Lorentz $F = \frac{e}{c} [vB] = \frac{e}{c} [[\omega r] B] = \frac{e}{c} (\omega B) r$. Cette force provoque la même polarisation du diélectrique que celle qui résulterait de l'application d'un champ électrique d'intensité $\frac{1}{c} (\omega B) r$, i.e.

$$P = \frac{\alpha}{c} (\omega B) r = \frac{\epsilon - 1}{4\pi c} (\omega B) r.$$

On en tire (puisque $\text{div } r = \partial x/\partial x + \partial y/\partial y = 2$)

$$\rho_{11\epsilon} = -\text{div } P = -\frac{\epsilon - 1}{2\pi c} (\omega B),$$

$$q = \int \rho_{11\epsilon} dV = -\frac{\epsilon - 1}{2c} (\omega B) (r_2^2 - r_1^2).$$

La densité superficielle des charges liées se trouvant sur la surface interne du cylindre est

$$\sigma_{11\epsilon} = -\frac{\epsilon - 1}{4\pi c} (\omega B) r_1$$

et celle de la surface externe du cylindre est

$$\sigma_{21\epsilon} = \frac{\epsilon - 1}{4\pi c} (\omega B) r_2.$$

La charge totale du cylindre est nulle.

§ 68. Inductance des fils électriques. Effets accompagnant l'application et la coupure d'un courant

1. Considérons un fil électrique fin en forme de boucle parcouru par un courant continu \mathcal{J} (fig. 178). Soit B le champ magnétique créé par ce courant. Traçons à l'intérieur du fil parallèlement à son axe un contour mathématique fermé s et fixons sur ce contour un sens de parcours positif. Soit Φ le flux magnétique du vecteur B embrassé par le contour s . Si l'espace considéré ne renferme aucun corps ferromagnétique, les valeurs de B et de Φ seront proportionnelles au courant, ce qui permet d'écrire

$$\Phi = L\mathcal{J}^{(m)} = \frac{1}{c} L\mathcal{J}. \quad (68.1)$$

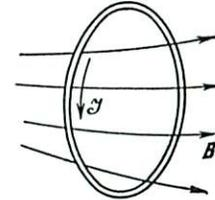


Fig. 178

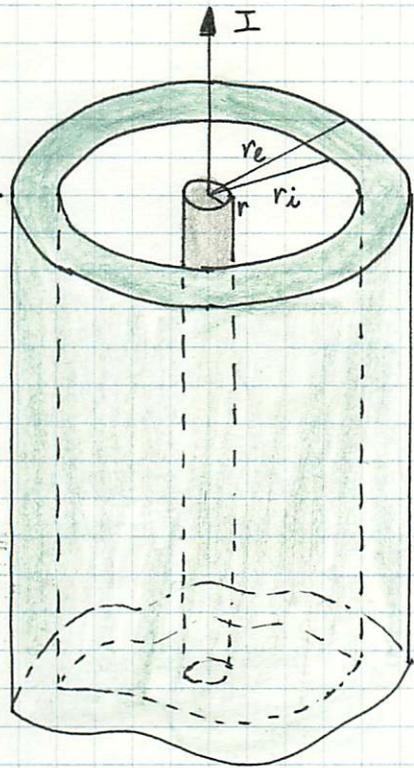
\mathcal{J} désigne ici l'intensité de courant dans le système gaussien d'unités de mesure et $\mathcal{J}^{(m)}$ l'intensité de ce même courant exprimée dans le système C.G.S.M. Le coefficient L est indépendant de l'intensité de courant, n'étant fonction que des dimensions et de la configuration du fil; on l'appelle *inductance* ou encore *coefficient de self-inductance* du conducteur. Cette définition est quelque peu ambiguë puisqu'on n'a pas précisé la position du contour mathématique s . Tant qu'il s'agit de fils fins, cette imprécision est parfaitement négligeable. D'ailleurs on peut lever l'ambiguïté par un procédé qui sera décrit au § 69. Pour abrégé nous appellerons la grandeur Φ *flux magnétique* à travers le contour conducteur fermé, quoique sa signification physique exacte n'apparaîtra qu'après introduction du contour mathématique auxiliaire s , comme nous l'avons fait ci-dessus.

Pour calculer l'inductance on ne peut remplacer un fil fin par un fil infiniment fin, i.e. par une ligne géométrique puisque dans ce cas le champ magnétique à proximité du fil serait proportionnel à $1/r$, r étant la distance jusqu'au fil, et on obtiendrait alors pour le flux magnétique et l'inductance des valeurs infinies. Plus le fil est fin, plus son inductance est grande, toutes choses égales d'ailleurs.

2. A titre d'exemple, calculons l'inductance d'un solénoïde en négligeant les effets de bord. Soient l la longueur du solénoïde, N le nombre total des spires et S l'aire d'une spire du solénoïde. A l'intérieur du solénoïde l'induction du champ magnétique est

$$B = \frac{4\pi}{c} \frac{\mathcal{J} N \mu}{l}.$$

Un filo cilindrico ed indefinito di raggio $r = 2 \text{ mm}$ è percorso da una corrente uniforme di intensità $I = 5 \text{ A}$. Il filo si trova all'interno di un tubo di ferro ($\mu_r = 700$) ad una estremità avente un raggio $r_i = 5 \text{ cm}$ ed $r_e = 6 \text{ cm}$. Si trovi l'andamento di B ed H .



Per motivi di simmetria B ed H dipendono solo dalla distanza x dall'asse

Si consideri un cerchio di raggio x centrato sull'asse del filo

dalla proprietà $\nabla \times \underline{H} = \underline{j}$ ovvero $\oint \underline{H} \cdot d\underline{\ell} = \int_S \underline{j} \cdot \hat{n} \, dS$

si ha:

$$0 < x < r$$

$$2\pi x H = I \frac{x^2}{r^2}$$

$$\Rightarrow H(x) = \frac{I}{2\pi r^2} x$$

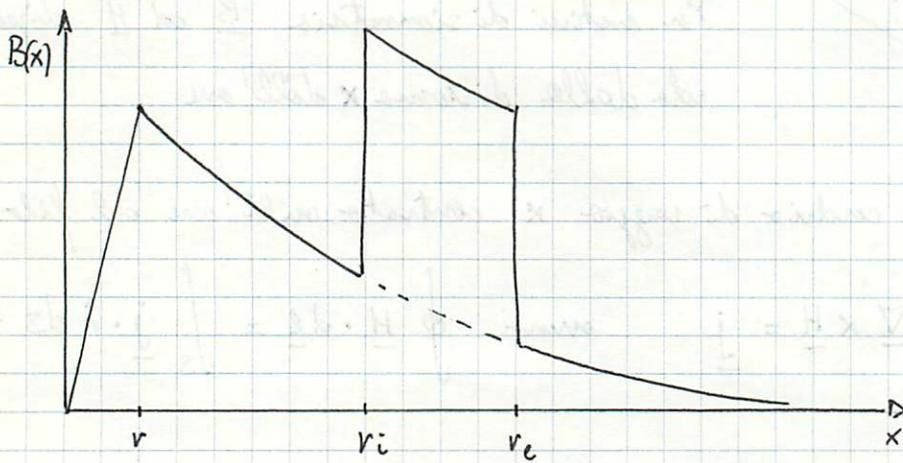
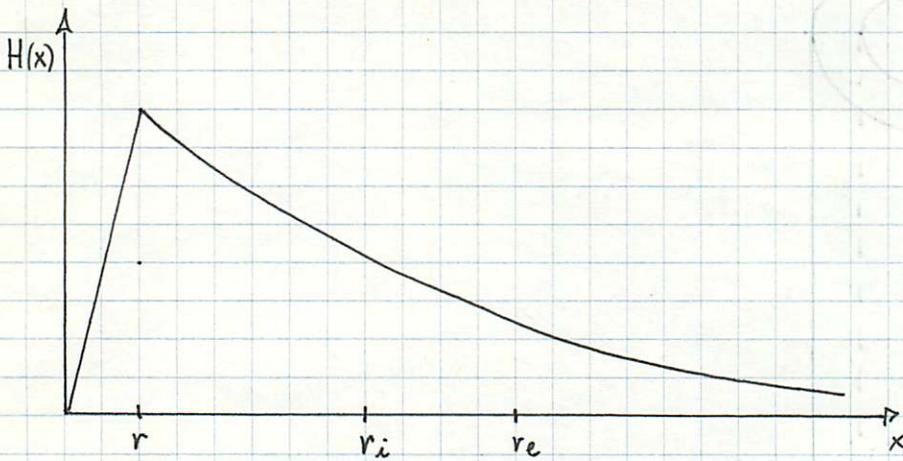
$$r < x$$

$$2\pi x H = I$$

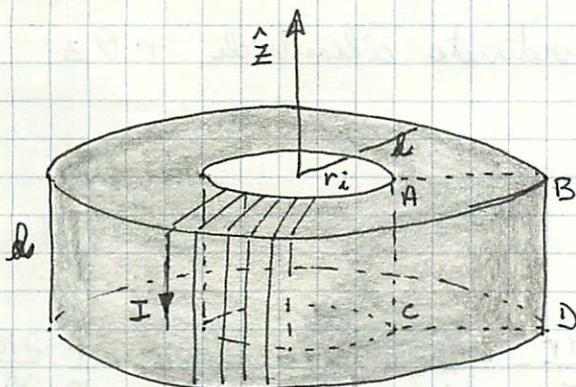
$$\Rightarrow H(x) = \frac{I}{2\pi x}$$

$$\underline{B} = \mu_0 \mu_r \underline{H}$$

$$B(r) = \begin{cases} \frac{\mu_0 I x}{2\pi r^2} & 0 < x < r \\ \frac{\mu_0 I}{2\pi x} & r < r < r_i \\ \frac{\mu_0 \mu_r I}{2\pi x} & r_i < r < r_e \\ \frac{\mu_0 I}{2\pi x} & r_e < r \end{cases}$$



Un anello toroidale di permeabilità magnetica relativa μ_r ha sezione quadrata di lato l e raggio interno r_i . Intorno all'anello sono avvolte N spire percorse da corrente I . Si calcoli il flusso di \underline{B} attraverso una sezione dell'anello e la densità delle correnti di magnetizzazione alla superficie e all'interno dell'anello.



Si fissi l'attenzione sulla sezione $ABCD$. Il campo \underline{B} è azimutale

$$\underline{B} = \hat{z} \times \hat{r} B(r) \quad \text{dove } \hat{z} \text{ è il vettore dell'asse del toro}$$

e \hat{r} è il vettore radiale; il modulo $B(r)$ dipende dalle distanze dall'asse.

Considerata una circonferenza di raggio r concentrica al toro, si ha:

$$\oint \underline{H} \cdot d\underline{l} = H 2\pi r = NI \quad \Rightarrow \quad H(r) = \frac{NI}{2\pi r}$$

$$B(r) = \mu_0 \mu_r H(r) = \mu_0 \mu_r \frac{NI}{2\pi r}$$

$$\Phi_{ABCD}(\underline{B}) = \int_{r_i}^{r_i+l} B(r) l dr = \frac{\mu_0 \mu_r NI l}{2\pi} \ln\left(1 + \frac{l}{r_i}\right)$$

coefficiente di autoinduzione $L = \frac{N\Phi(B)}{I} = \frac{\mu_0 \mu_r}{2\pi} N^2 l \ln\left(1 + \frac{l}{r_i}\right)$

ottenibile anche come $\frac{1}{2} LI^2 = \int \frac{B^2}{2\mu} dV$

Il vettore intensità di magnetizzazione vale:

$$\underline{M} = \frac{1}{\mu_0} \underline{B} - \underline{H} \quad \underline{M}(r) = \hat{z} \times \hat{r} (\mu_r - 1) \frac{NI}{2\pi r}$$

la densità di corrente di magnetizzazione all'interno del toro vale:

$$\underline{J}_m = \nabla \times \underline{M}(r) = 0 \quad \text{usando coordinate cilindriche } r \theta z$$

$$\underline{M}(r) = \left(0, (\mu_r - 1) \frac{NI}{2\pi r}, 0 \right)$$

$$\nabla \times \underline{M}(r) = \hat{r} \left(\frac{1}{r} \frac{\partial M_z}{\partial \theta} - \frac{\partial M_\theta}{\partial z} \right) + \hat{\theta} \left(\frac{\partial M_r}{\partial z} - \frac{\partial M_z}{\partial r} \right) + \hat{z} \left(\frac{1}{r} \frac{\partial (M_\theta r)}{\partial \theta} - \frac{1}{r} \frac{\partial M_r}{\partial \theta} \right) = 0$$

la densità di corrente di magnetizzazione sulle superfici del toro valgono:

$$\underline{K}_m = \underline{M} \times \hat{n} \quad \text{dove } \hat{n} \text{ è la normale esterna alle superficie considerate}$$

$$\text{superficie interna: } \underline{K}_m = \hat{z} (\mu_r - 1) \frac{NI}{2\pi r_i}$$

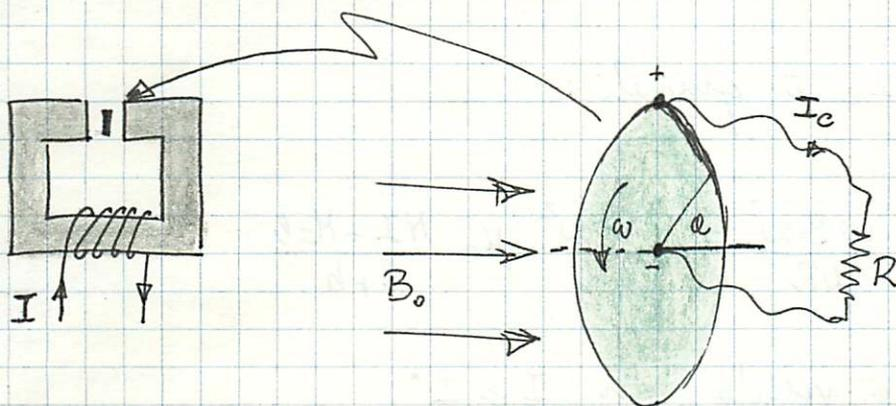
$$\text{superficie esterna: } \underline{K}_m = -\hat{z} (\mu_r - 1) \frac{NI}{2\pi (r_i + l)}$$

$$\text{superficie superiore: } \underline{K}_m(r) = \hat{r} (\mu_r - 1) \frac{NI}{2\pi r}$$

$$\text{superficie inferiore: } \underline{K}_m(r) = -\hat{r} (\mu_r - 1) \frac{NI}{2\pi r}$$

se $\mu_r > 1$ \underline{K}_m è concorde a \underline{J}

Un elettromagnete di lunghezza $l = 35 \text{ cm}$ e traferro $h = 3.0 \text{ mm}$ ha un avvolgimento di $N = 350$ spire in cui circola una corrente I . Nel traferro viene posto un sottile disco conduttore di raggio $R = 1.50 \text{ cm}$, che ruota a velocità angolare costante $\omega = 120 \text{ rad s}^{-1}$. Il disco è chiuso in un circuito di resistenza $R = 68 \Omega$ mediante due contatti striscianti posti al centro e al bordo del disco. Sia I_c la corrente in tale circuito. Si aumenta gradualmente I e si osserva che a partire da $I^* = 37 \text{ A}$ cui corrisponde $I_c^* = 3.95 \cdot 10^{-4} \text{ A}$, I_c cresce linearmente con I . Determinare la relazione di legge I_c al campo B ed il valore della magnetizzazione di saturazione M_s del materiale usato.



Detti B, H B_0, H_0 i campi nel ferromagnete e nel traferro, si ha:

$$B = B_0$$

$$NI = Hl + H_0 h$$

$$H_0 = \frac{B_0}{\mu_0} \quad B = B_0 = \frac{\mu_0}{h} (NI - Hl)$$

nel ferro-magnete si ha $B = \mu_0(H + M)$

con $M = M(H)$ Per H sufficientemente intenso $M(H)$ ritorna a M_s

quindi $B = \mu_0(H + M_s)$ cioè $H = \frac{B}{\mu_0} - M_s$

sostituendo nella precedente relazione:

$$B = \frac{\mu_0 N I}{h} - \frac{\mu_0 l}{h} \left(\frac{B}{\mu_0} - M_s \right)$$

da da: $B = \mu_0 \frac{N I + M_s l}{l + h}$

a causa del campo $B_0 = B$ sul disco si stabilisce un campo

elettrostatico $\vec{E}(r) = \vec{v} \times \vec{B} = \omega r B$

e quindi una d.d.p. tra periferia e centro pari a:

$$|\Delta V| = \int_0^R \omega r B dr = \frac{1}{2} \omega B a^2$$

la corrente I_c è quindi:

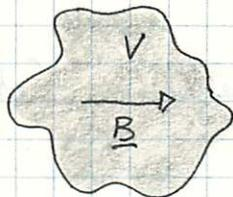
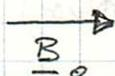
$$I_c = \frac{\Delta V}{R} = \frac{\omega B a^2}{2R} = \frac{\omega a^2}{2R} \mu_0 \frac{N I + M_s l}{l + h}$$

relazione che è valida per $I \geq I^*$

volutando $I_c(I^*) = I_c^*$ si ha:

$$M_s = \frac{1}{l} \left[(l+h) I_c^* \frac{2R}{\mu_0 \omega a^2} - N I^* \right] = 1.56 \cdot 10^6 \text{ A m}^{-1}$$

Un pezzo di sostanza di volume V e permeabilità magnetica μ_r si trova immerso nel campo magnetico generato da un dipolo magnetico nella direzione del suo asse.
 Determinare la forza esercitata sul volumetto.



$$\text{energia potenziale magnetostatica} = \int \frac{1}{2} \underline{B} \cdot \underline{H} dV = \int \frac{1}{2\mu} B^2 dV =$$

$$= \int \frac{1}{2\mu_0} B_0^2 dV - \int_V \frac{1}{2\mu_0} B_0^2 dV + \int_V \frac{1}{2\mu_0\mu_r} B^2 dV =$$

$$= \text{costante} - \left(1 - \frac{1}{\mu_r}\right) \int_V \frac{1}{2\mu_0} B_0^2 dV \approx$$

$$= \text{costante} - \left(1 - \frac{1}{\mu_r}\right) \frac{1}{2\mu_0} V \langle B_0^2 \rangle$$

avendo usato

$$H = \frac{B}{\mu}$$

e

$$B = B_0 \text{ per continuità}$$

(B normale conservata)

$$\langle B_0^2 \rangle = \frac{1}{V} \int_V B_0^2 dV$$

la forza \underline{F} vale

$$\underline{F} = - \underline{\nabla} \mu \approx \left(1 - \frac{1}{\mu_r}\right) \frac{V}{2\mu_0} \underline{\nabla} \langle B_0^2 \rangle$$

poiché $\langle B_0^2 \rangle$ diminuisce allontanandosi dal dipolo

$\underline{\nabla} \langle B_0^2 \rangle$ è negativo (attrattivo)

per materiali diamagnetici $\chi < 0$ ($\mu_r < 1$)

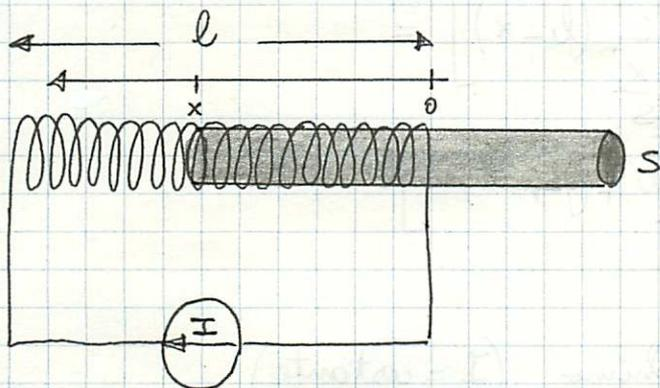
\underline{F} risulta repulsivo (correnti indotte opposte ad \underline{I}) $\mu_r = 1 + \chi$

per materiali paramagnetici $\chi > 0$ ($\mu_r > 1$)

\underline{F} risulta attrattivo (correnti indotte concordi ad \underline{I})



Un solenoide di lunghezza $l = 10$ cm è costituito da $N = 1000$ spire di area $S = 1 \text{ cm}^2$ percorso da corrente $I = 1$ A. Nel solenoide viene inserito un nucleo di ferro dolce $\mu_r = 1000$. Calcolare la forza con cui il nucleo viene risucchiato dentro il solenoide. ?



Si consideri la configurazione con il nucleo di ferro penetrato per un tratto x .

Detti B, H e B_0, H_0 i campi nel ferro e nel solenoide vuoto, si ha:

$$H = H_0 = \frac{NI}{l}$$

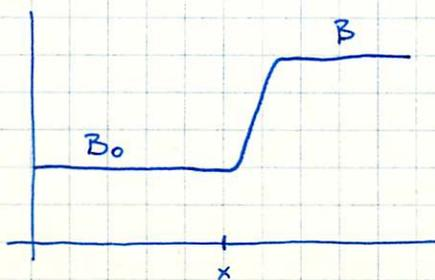
$$(\nabla \times \underline{H} = \underline{J})$$

$$H_0 = \frac{B_0}{\mu_0}$$

$$H = \frac{B}{\mu_0 \mu_r}$$

$$B_0 = \mu_0 \frac{NI}{l}$$

$$B = \mu_0 \mu_r \frac{NI}{l}$$



l'energia magnetica vale:

$$U_m = \int \frac{1}{2} \underline{B} \cdot \underline{H} \, dV = \frac{1}{2} BS [Bx + B_0(l-x)] =$$

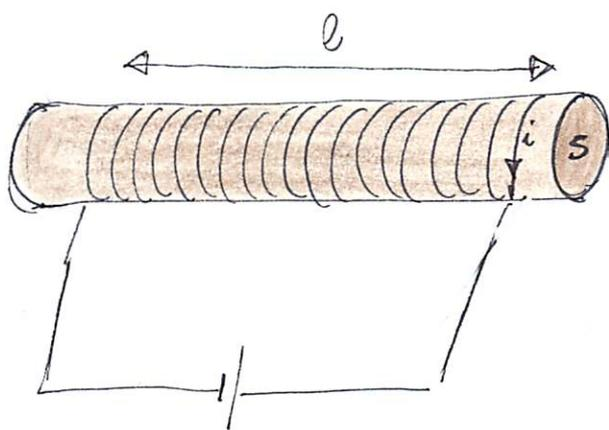
$$= \frac{1}{2} S \left(\frac{NI}{l} \right)^2 \mu_0 [\mu_r x + (l-x)] =$$

$$= \frac{1}{2} \frac{\mu_0 S N^2 I^2}{l^2} [l + (\mu_r - 1)x]$$

Poiché il sistema non è chiuso ($I = \text{costante}$)

$$F(x) = + \frac{\partial U_m}{\partial x} = \frac{1}{2} \mu_0 (\mu_r - 1) \frac{S N^2 I^2}{l^2} = 6.28 \text{ N}$$

Una molla a spirale è avvolta su un nucleo ferromagnetico ($\mu_r = 1000$). Essa è formata da $N = 250$ spire, è lunga $l_0 = 0.5$ m ed ha una sezione $S = 4$ cm². Se la sua costante elastica è $K = 98 \frac{N}{m}$ di quanto si accorcia quando è percorsa da una corrente $i = 1$ A?



quando la molla è lunga l la sua energia potenziale elastica vale:

$$U_d = \frac{1}{2} K (l - l_0)^2$$

per una variazione dl di l si ha

$$dU_d = K (l - l_0) dl$$

Una variazione dl di l causa la variazione di energia magnetica immagazzinata

$$U_m = \frac{1}{2} i^2 L \quad \Rightarrow \quad dU_m = \frac{1}{2} i^2 dL$$

essendo L il coefficiente di autoinduzione

$$\text{alternatively: } U_m = \int \frac{1}{2} \underline{B} \cdot \underline{H} dV = \frac{1}{2} S l H^2 \mu_{0\mu_r} = \frac{1}{2} S l \mu_{0\mu_r} \left(\frac{N}{l} i \right)^2$$

ed un lavoro del generatore che mantiene la corrente i costante

$$dW = i dV$$

$$\text{ma } V = - \frac{d}{dt} \phi(B) = - \frac{d}{dt} (Li) = - \frac{dL}{dt} i \quad (\text{e } i = \text{cost.})$$

$$\text{quindi } dV = - i dL$$

$$dW = - i^2 dL =$$

all'equilibrio:

$$dU_{el} + dU_m + dW = 0 \Rightarrow dU_{el} - dU_m = 0$$

$$\text{calcolo di } L : \phi(B) = NSB = S \frac{\mu N^2 i}{l} \quad L = \frac{\mu N^2 S}{l}$$

$$dL = - \frac{\mu N^2 S}{l^2} dl$$

$$\kappa (l - l_0) dl + \frac{\mu N^2 S i^2}{2 l^2} dl = 0$$

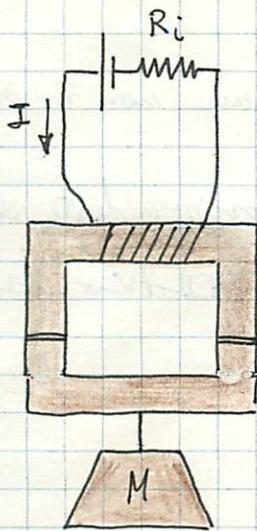
$$\text{per } l - l_0 \ll l_0 \quad l \approx l_0$$

$$l - l_0 \approx - \frac{\mu_0 \mu_r S N^2 i^2}{2 \kappa l_0^2}$$

il risultato $l - l_0 = 6.5 \cdot 10^{-4} \text{ m}$ giustifica l'approssimazione fatta.

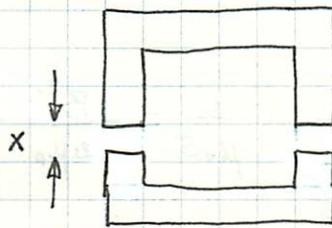
Una elettrocalomita deve sostenere un carico (ancora compressa) di (1)
 massa $M = 1000 \text{ kg}$. Il nucleo ferromagnetico ($\mu_r = 1000$) ha
 lunghezza $d = 40 \text{ cm}$ e sezione ^{quadrata} $S = 36 \text{ cm}^2$. Si dispone di un generatore
 di corrente continua I .

Qual'è il valore di I , se N è il numero di avvolgimenti, sufficiente a sostenere il carico?



Sia I la corrente nell'avvolgimento ed N il numero di spire

Per trovare la forza con cui due poli del nucleo ferromagnetico sono uniti li si consideri separati e distansa x



Detta H il campo magnetico nel nucleo ed H_0 quello nel vuoto, in assenza di flusso disperso si ha:

$$dH + 2xH_0 = NI$$

Poiché la componente normale di B si conserva e B è normale

$$B = B_0$$

$$H_0 = \frac{B_0}{\mu_0}$$

$$H = \frac{B}{\mu_0 \mu_r}$$

quindi $B = B_0 = \frac{NI}{\frac{d}{\mu_0 \mu_r} + \frac{2x}{\mu_0}}$

l'energia magnetica associata a questa configurazione vale:

$$U = \int \frac{1}{2} \underline{B} \cdot \underline{H} dV = \frac{1}{2} BH dS + \frac{1}{2} B_0 \mu_0 2xS = \frac{S}{2} \left(\frac{B^2 d}{\mu_0 \mu_r} + B_0^2 \frac{2x}{\mu_0} \right)$$

$$= \frac{1}{2} \frac{(NI)^2}{\frac{d}{\mu_0 \mu_r S} + \frac{2x}{\mu_0 S}} = \frac{S}{2} B_0^2 \left(\frac{d}{\mu_0 \mu_r} + \frac{2x}{\mu_0} \right)$$

la forza magnetica è $F = + \frac{\partial U}{\partial x}$ (il sistema non è isolato)

il generatore fornisce l'energia U_{gen} corrispondente al
 magnete immerso nel proprio stesso campo*: $dU_{gen} = NI d\phi = NI d\phi(B)$

$$U_{gen} = - NI \phi(B) = - NI \frac{NI}{\frac{d}{\mu_0 \mu_r} + \frac{2x}{\mu_0}} S = - 2U$$

l'energia totale è quindi $U + U_{gen} = -U$ cioè $F = + \frac{\partial U}{\partial x}$

$$F(x) = - \frac{(NI)^2}{\left(\frac{d}{\mu_0 \mu_r S} + \frac{2x}{\mu_0 S} \right)^2} \frac{1}{\mu_0 S} = - \frac{B^2}{2\mu_0} 2S$$

$$\begin{aligned} * \frac{1}{N} dU_{gen} &= - d\mathbf{m} \cdot \underline{B} \\ &= - \frac{1}{2} r \times dl \cdot \mathbf{J} S \cdot \underline{B} \\ &= - dAB \mathbf{J} S \\ &= - I d\phi(B) \end{aligned}$$

per $x=0$

$$F(0) = - \frac{(NI)^2}{\left(\frac{d}{\mu_r} \right)^2} \mu_0 S$$

$$|F(0)| > Mg$$

o anche

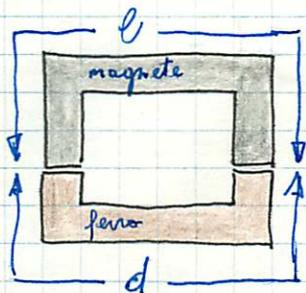
$$dU_{gen} = + I d\phi \text{ (tensione)}$$

$$= - I d\phi(B)$$

Faraday - Heumann-Lenz

$$I > \sqrt{\frac{Mg}{\mu_0 S}} \cdot \left(\frac{d}{N \mu_r} \right)$$

Un magnete permanente di lunghezza $l = 50 \text{ cm}$ sezione $S = 36 \text{ cm}^2$ magnetizzazione $M = 4.0 \cdot 10^5 \text{ A m}^{-1}$ ^{costante} di forma anisotropa è connesso ad un nucleo ferromagnetico $\mu_r = 700$ anche esso di forma anisotropa ^{e lunghezza $d = 40 \text{ cm}$} . Si calcoli la forza con cui il nucleo è attratto dal magnete.



Per una distanza x tra magnete e ferromagnete si ha:

$$B = B_0 = B_p$$

$$H d + B_0 2x + H_p l = 0$$

dove $H = \frac{B}{\mu_0} - M$ è il campo nel magnete

$$H_0 = \frac{B_0}{\mu_0} \quad \text{quello nel vuoto}$$

$$H_p = \frac{B_p}{\mu_0 \mu_r} \quad \text{quello nel materiale ferromagnetico}$$

$$\left(\frac{B}{\mu_0} - M \right) l + \frac{B}{\mu_0} 2x + \frac{B}{\mu_0 \mu_r} d = 0$$

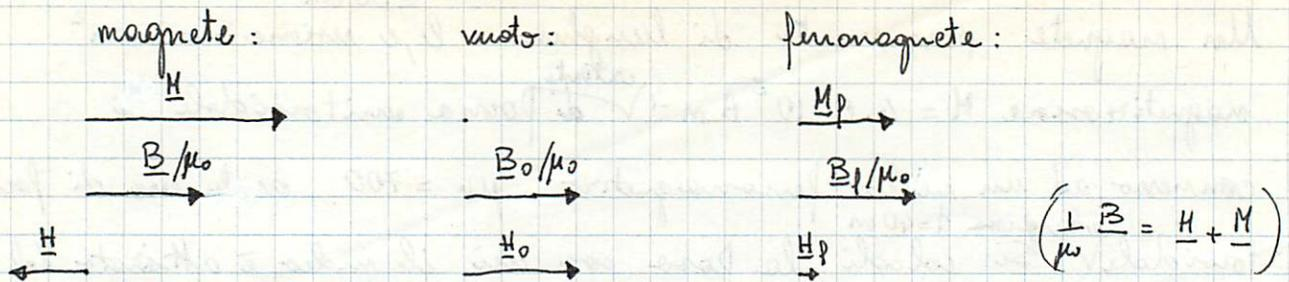
$$B = B_0 = B_p = \frac{M l}{\frac{d}{\mu_0 \mu_r} + \frac{l}{\mu_0} + \frac{2x}{\mu_0}} = \mu_0 M \frac{l}{l + 2x + d/\mu_r}$$

$$H = \frac{B}{\mu_0} - M = -M \frac{2x + d/\mu_r}{l + d/\mu_r + 2x}$$

$$H_0 = \frac{B_0}{\mu_0} = M \frac{l}{d/\mu_r + l + 2x}$$

$$H_p = \frac{B_p}{\mu_0 \mu_r} = M \frac{l/\mu_r}{d/\mu_r + l + 2x}$$

$$M_p = (\mu_r - 1) H_p$$



Il magnete è isolato e la sua energia totale vale:

$$U = -\frac{1}{2} \int d\underline{m} \cdot \underline{B}$$

$$U = -\frac{1}{2} \int_V \underline{M} \cdot \underline{B} dV = -\frac{1}{2} M dS \frac{Ml}{\frac{d}{\mu_0 \mu_r} + \frac{2x}{\mu_0} + \frac{l}{\mu_0}}$$

equivolentemente si può interpretare il sistema aperto con corrente di

corrente MI e scrivere $U + U_g = -U = -\left(\frac{1}{2} \frac{B^2}{\mu_0} Sd + \frac{1}{2} \frac{B^2}{\mu_0} S2x + \frac{1}{2} \frac{B^2}{\mu_0 \mu_r} Sd\right) =$

$$= -\frac{1}{2} \frac{(MI)^2}{\frac{d}{\mu_0 \mu_r S} + \frac{2x}{\mu_0 S} + \frac{l}{\mu_0 S}}$$

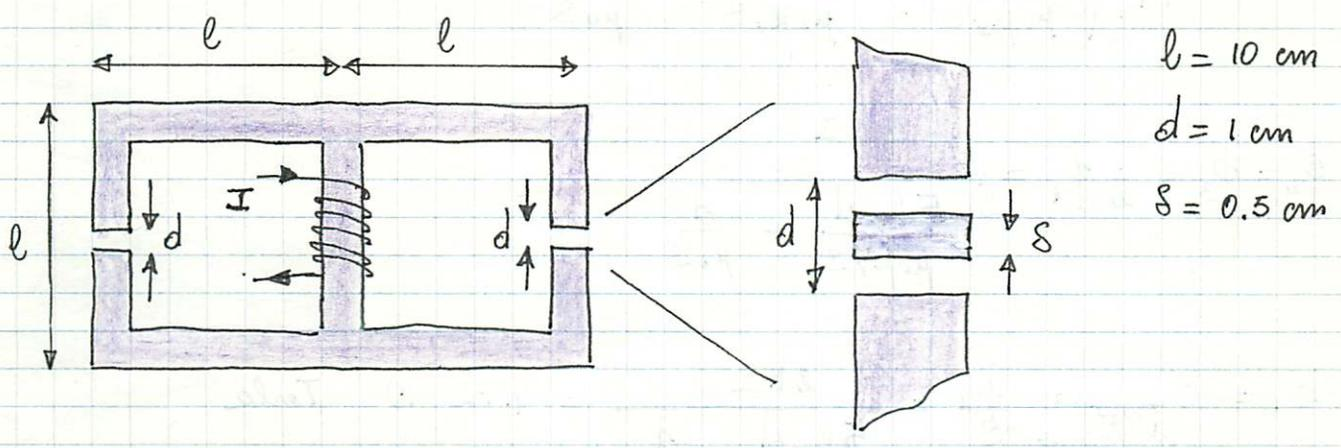
la forza è attrattiva:

$$F(x) = -\frac{\partial U}{\partial x} = -\frac{(MI)^2}{\left(\frac{d}{\mu_0 \mu_r S} + \frac{2x}{\mu_0 S} + \frac{l}{\mu_0 S}\right)^2} \frac{1}{\mu_0 S} = -\frac{B^2}{2\mu_0} 2S$$

$$F(0) = -\frac{(MI)^2}{\left(\frac{d}{\mu_0 \mu_r S} + \frac{l}{\mu_0 S}\right)^2} \frac{1}{\mu_0 S} = -722.2 \text{ N}$$

Il circuito in figura ha sezione costante S ed è costituito da un materiale di permeabilità magnetica relativa $\mu_r = 750$. L'avvolgimento è costituito da $N = 1000$ spire percorse da corrente $I = 0.2$ A.

Si calcoli B nei triferri e nell'avvolgimento. In uno dei triferri viene inserito un pezzo di materiale. Si calcoli B nel triferro così modificato.



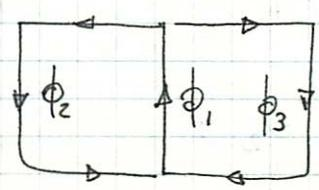
In approssimazione di flussi dispersi trascurabili per ogni maglia del circuito magnetico vale la legge di Hopkinson:

$$\sum I = \int \underline{H} \cdot d\underline{l} = \int \frac{1}{\mu} \underline{B} \cdot d\underline{l} = \int \underline{B} \cdot \hat{n} S(l) \frac{dl}{\mu S(l)} = \phi \int \frac{dl}{\mu S(l)}$$

dove $\phi = \oint \underline{B} \cdot \hat{n} S(l) = \text{costante}$ ($\nabla \cdot \underline{B} = 0$)

$$\int \frac{dl}{\mu S(l)} \equiv R = \text{resistenza magnetica associata al ramo considerato}$$

Orientati i flussi ϕ_1 , ϕ_2 e ϕ_3 come in figura si ha:



$$\begin{cases} \phi_1 = \phi_2 + \phi_3 \\ NI = \phi_1 \frac{l}{\mu_0 \mu_r S} + \phi_2 \left(\frac{3l-d}{\mu_0 \mu_r S} + \frac{d}{\mu_0 S} \right) \\ NI = \phi_1 \frac{l}{\mu_0 \mu_r S} + \phi_3 \left(\frac{3l-d}{\mu_0 \mu_r S} + \frac{d}{\mu_0 S} \right) \end{cases}$$

sommando le ultime 2 equazioni:

$$2NI = \phi_1 \left(\frac{2l}{\mu_0 \mu_r S} + \frac{3l-d}{\mu_0 \mu_r S} + \frac{d}{\mu_0 S} \right)$$

$$\phi_2 = \phi_3 = \frac{1}{2} \phi_1 = \frac{1}{2} \frac{2NI}{\frac{5l-d}{\mu_0 \mu_r S} + \frac{d}{\mu_0 S}}$$

$$B_1 = B_{\text{avvolgimento}} = \frac{\phi_1}{S} = \frac{2NI}{\frac{5l-d}{\mu_0 \mu_r} + \frac{d}{\mu_0}} = 4.72 \cdot 10^{-2} \text{ Tesla}$$

$$B_2 = B_3 = B_{\text{trasfero}} = \frac{1}{2} B_1 = 2.36 \cdot 10^{-2} \text{ Tesla.}$$

Inserendo il pino di materiale nel trasfero e destra si ha:

$$\begin{cases} \phi_1 = \phi_2 + \phi_3 \\ NI = \phi_1 \frac{l}{\mu_0 \mu_r S} + \phi_2 \left(\frac{3l-d}{\mu_0 \mu_r S} + \frac{d}{\mu_0 S} \right) \\ NI = \phi_1 \frac{l}{\mu_0 \mu_r S} + \phi_3 \left(\frac{3l-d+s}{\mu_0 \mu_r S} + \frac{d-s}{\mu_0 S} \right) \end{cases}$$

eliminando ϕ_2 :

$$\begin{cases} \phi_1 \left(\frac{4l-d}{\mu_0 \mu_r S} + \frac{d}{\mu_0 S} \right) - \phi_3 \left(\frac{3l-d}{\mu_0 \mu_r S} + \frac{d}{\mu_0 S} \right) = NI \\ \phi_1 \frac{l}{\mu_0 \mu_r S} + \phi_3 \left(\frac{3l-d+s}{\mu_0 \mu_r S} + \frac{d-s}{\mu_0 S} \right) = NI \end{cases}$$

posto $a = \frac{4l-d}{\mu_0 \mu_r} + \frac{d}{\mu_0}$ $b = \frac{3l-d}{\mu_0 \mu_r} + \frac{d}{\mu_0}$

$c = \frac{l}{\mu_0 \mu_r}$ $d = \frac{3l-d+s}{\mu_0 \mu_r} + \frac{d-s}{\mu_0}$

$$\begin{cases} \phi_1 a - \phi_3 b = NIS \\ \phi_1 c + \phi_3 d = NIS \end{cases}$$

$$\phi_3 = \frac{a-c}{ad+bc} NIS$$

$$B_3 = B_{\text{trasferimento modificato}} = \frac{\phi_3}{S} = NI \frac{a-c}{ad+bc} = 4.49 \cdot 10^{-2} \text{ Tesla}$$

$$a = 8371.55 \text{ T}^{-1} \text{ A}$$

$$b = 8265.45 \text{ T}^{-1} \text{ A}$$

$$c = 106.10 \text{ T}^{-1} \text{ A}$$

$$d = 4291.89 \text{ T}^{-1} \text{ A}$$